

تأثیر لوپرلاید استاتس بر فراساختار سلولهای زایا در موش نر بالغ

- فهیمه محمدقاسمی (Ph.D.^۱، جعفر سلیمانی راد (Ph.D.^۲، احمدعلی قنبری (Ph.D.^۳، پروانه طباطبائی نبوی (B.Sc.^۴)
- ۱- گروه علوم تشریح، دانشکده پزشکی، دانشگاه علوم پزشکی و خدمات بهداشتی- درمانی گیلان، گیلان، ایران.
- ۲- مرکز تحقیقات کاربردی دارویی، دانشگاه علوم پزشکی و خدمات بهداشتی- درمانی تبریز، تبریز، ایران.
- ۳- گروه علوم تشریح، دانشکده پزشکی، دانشگاه علوم پزشکی و خدمات بهداشتی- درمانی تبریز، تبریز، ایران.
- ۴- مرکز تحقیقات سلولی- مولکولی، دانشکده پزشکی، دانشگاه علوم پزشکی و خدمات بهداشتی- درمانی ایران، ایران.

چکیده

زمینه و هدف: اسپرماتوژن زر آیندی کاملاً وابسته به هورمون به ویژه گنادوتروپینها می باشد و بدیهی است هرگونه تغییر در میزان این هورمونها می تواند در اسپرماتوژن زر موثر باشد. آنالوگهای هورمون های آزادکننده گنادوتروپین نیز می توانند محور هیپوفیزی- گنادی را مختل نمایند. لذا هدف از مطالعه حاضر ارزیابی تغییرات فراساختاری و هیستولوژیک سلول های اسپرماتوژنیک و اسپرمیوژنیک با استفاده از میکروسکوپ الکترونی ترانسمیشن به دنبال تجویز یک دوز لوپرلاید استات (یکی از آنالوگهای هورمون آزادکننده گنادوتروپین) در موش بالغ می باشد.

روش بررسی: در مطالعه حاضر ۲۴ موش بالغ ۸ هفته به ۳ گروه تقسیم شدند. گروه کنترل، هیچ دارویی دریافت نکردند اما حیوانات در گروه دوم و سوم به ترتیب یک دوز $7/6\text{mg/kg}$ و $2ml/0$ کربوکسی متیل سلولز و $7/6\text{mg/kg}$ لوپرلاید استات به صورت زیر جلدی دریافت کردند. پس از گذشت ۵ هفته بیضه موشها خارج و برای مطالعه سلول های زایای لوله سمی نیفروس و مطالعه مورفو لوژی با استفاده از میکروسکوپ الکترونی ترانسمیشن و نوری مورد استفاده قرار گرفت. همه نمونه ها از نظر مورفو لوژی مقایسه شدند و با روش آزمون ANOVA مورد آنالیز آماری قرار گرفتند.

نتایج: در نتایج میکروسکوپ الکترونی، در گروه آزمایش بیشترین تغییرات در سلول های اسپرمیوژنیک یافت شد. در بیشتر اسپرماتیدها، هسته و آکروزوم تغییر شکل یافته بود. در برخی اسپرماتیدهای در حال تمایز وزیکول های آکروزومی در هسته دیده می شد؛ ضمن اینکه تخصص یافتنگی اکتوپلاسمیک در برخی نواحی به صورت نسبی حذف شده بود. در اسپرماتیدهای دراز، فلاژلها غیر طبیعی بودند و غلاف فیبروزه آنها به صورت غیرممتد بود. در مشاهدات میکروسکوپ نوری وضعیت تکامل اسپرماتوژن زر اساس جدول جانسن در گروه کنترل، ششم و آزمایش به ترتیب $3/52$ ، $8/42$ و $8/40$ بود؛ که در گروه آزمایش کاهش معنی دار داشت ($p < 0.01$). همچنین تمام شاخص های هیستومتری در لوله های سمنینیفروس در مقایسه با دو گروه دیگر کاهش معنی دار داشت ($p < 0.01$).

نتیجه گیری: تزریق یک دوز $7/6\text{mg/kg}$ لوپرلاید استات در طی یک سیکل اسپرماتوژن زر با اثرات سوء بر اسپرماتوژن همراه می باشد و به نظر می رسد که لوپرلاید استات دارای بیشترین اثر بر روی اسپرمیوژن زر یا فرآیند تغییر شکل اسپرماتیدهای گرد به دراز می باشد.

کلید واژگان: اسپرماتوژن زر، هورمون های آزاد کننده گنادوتروپین، اسپرمیوژن زر، لوپرلاید استات، موش، میکروسکوپ الکترونیک، سلول زایا، ناباروری مردان.

مسئول مکاتبه: دکتر فهیمه محمدقاسمی، گروه علوم تشریح، دانشکده پزشکی، مجتمع دانشگاهی گیلان، کیلومتر ۱۰ جاده تهران، رشت، ایران.

پست الکترونیک: parsahistolab@gmail.com

تجویز یک دوز آنتاگونیست GnRH منجر به کاهش تمايل جنسی، کاهش قطر اسکروتوم بیضه و کاهش مایع منی و پارامترهای اسپرم می‌شود (۱۵، ۱۶). همچنین تجویز گنادوتروپین‌های اگزوژن به میمونها باعث اختلال در مراحل بلوغ و تکامل اسپرم در اپیدیدیم می‌شود (۱۷). از آنجایی که اثرات گنادوتروپین‌های اگزوژن پس از قطع درمان برطرف می‌شود، در برخی مواقع می‌توانند به عنوان روشی برای جلوگیری از باروری در مردان نیز مطرح باشند (۲)؛ لذا آگاهی از باروری در مردان آنها می‌تواند کمک مؤثری در درمان ناباروری و همچنین روش‌های پیشگیری از باروری باشد.

براساس مطالعه Glode و همکاران در سال ۱۹۸۱ که با میکروسکوپ نوری انجام شد، مصرف لوپرلاید در موشها باعث تغییر ساختمانی و هیستولوژیکی در لوله‌های سمی‌نیفروس بیضه نمی‌گردد (۱۲)، هرچند که Manabe در سال ۱۹۹۶ نشان داد که به‌دبیال تجویز ۹mg/kg لوپرلاید در رت، قطر لوله سمی‌نیفروس و درجه بلوغ آنها کاهش می‌یابد (۹). در هیچ یک از موارد نامبرده در ارتباط با تغییرات کمی و فراساختاری سلول‌های زایای بیضه مطالعه‌ای صورت نگرفته است. براساس مطالعات حاضر اطلاعاتی در مورد تغییرات فراساختاری داروهای آگونیست GnRH و همچنین لوپرلاید استات بر روی سلول‌های زایای بیضه و رده‌های بلوغی اسپرم در دسترس نمی‌باشد. از طرف دیگر مطالعه با میکروسکوپ الکترونی با ارزش‌ترین نوع مطالعات مورفولوژیکی از نظر ارزیابی هسته، اندامکها، غشاها و اتصالات سلولی مخصوصاً در مقایسه با میکروسکوپ نوری به حساب می‌آید، ضمن اینکه آگاهی از تغییرات فراساختاری سلول‌های زایا و رده‌های بلوغی اسپرم به‌دبیال تجویز گنادوتروپین‌ها می‌تواند کمک بیشتری در درک بهتر اسپرماتوژن و اسپرمیوژن و در نتیجه عملکرد آنها باشد؛ مطالعه

زمینه و هدف

اسپرماتوژن روندی است که بوسیله هورمون‌های گونادوتروپینی مانند هورمون تحریک‌کننده فولیکولی (FSH) و لوئینیزه (LH) کنترل می‌شود. بدیهی است هرگونه تغییر در میزان گنادوتروپینها می‌تواند با تغییر در اسپرماتوژن همراه باشد. تجویز گنادوتروپین‌های اگزوژن در فرم آگونیست یا آنتاگونیست GnRH در نهایت باعث مهار محور هیپوفیزی-گنادی و مهار ترشح LH و تولید استروئیدهای جنسی می‌شود؛ هرچند که نحوه مکانیسم عمل آنالوگها و آنتاگونیست‌های GnRH با یکی‌گر متفاوت است (۱).

لوپرلاید استات یک دکاپتید سنتتیک و آگونیست هورمون آزادکننده گنادوتروپین می‌باشد. این دارو برای درمان اندومتریوز، لیومیومای رحم، سرطان پیشرفته پروستات و در برخی موارد جهت درمان ناباروری (۲) و کریپتورکیدیسم (۳) مورد استفاده قرار می‌گیرد. تجویز لوپرلاید استات در رت (۴) و انسان (۵-۷) باعث کاهش تستوسترون سرم می‌شود و ممکن است باعث کاهش وزن بیضه شود (۸، ۹). یکی از مکانیسم‌های لوپرلاید، سرکوب کردن محور هیپوفیزی-گنادی می‌باشد. تجویز لوپرلاید در رت به‌دبیال دوکسوروبیسین^۱ (۹)، پروکاربازین^۲ (۱۰) و اشعة درمانی (۱۱) باعث حفظ و نگهداری اسپرماتوژن در طی درمان می‌شود. همچنین در موشها نیز لوپرلاید می‌تواند اسپرماتوژن را به‌دبیال درمان با سیکلوفسفاماید^۳ (۱۲) حفظ نماید. مطالعات در رت و موش نشان داده‌اند که تجویز لوپرلاید به بیضه میزبان باعث ایجاد محیط مناسب برای پیوند بهتر سلول‌های زایا و برقراری بهتر اسپرماتوژن می‌شود (۱۳، ۱۴).

صرف گنادوتروپینها در گونه‌های دیگر نیز می‌تواند با اختلالات اسپرماتوژن همراه باشد. برای مثال در سگها

1- Doxorubicin

2- Procarbazine

3- Cyclophosphamide

الکترونی در تمامی حیوانات برش‌هایی از بیضه چپ و برای مطالعه میکروسکوپ نوری بیضه راست مورد استفاده قرار گرفت.

میکروسکوپ الکترونی ترانسミشن (TEM): برش‌های بافتی از بیضه چپ در گلوتارآلدئید (2% / 5 AU Pro Sci (Merck, Germany) و پارافرمالدئید (4% / 4 AU Tech, UK) به مدت یک شب ثابت شدند. جهت ثابت کردن ثانویه از تتراسید اسمیوم (Taab, UK) به مدت دو ساعت استفاده شد. پس از پردازش بافتی، نمونه‌ها در رزین قالبگیری شدند. برش‌های نازک بیضه با ضخامت Richert-Jung, 500 nm با استفاده از اولترا میکروتوم (AU) و تیغه شیشه‌ای به دست آمد و با تولوئیدین بلو (Leo, Germany) رنگ‌آمیزی و ذیر میکروسکوپ نوری (Leo, Germany) برای تعیین مکان مناسب مطالعه شدند. سپس برش‌های نازک 100 nm با استفاده از تیغه الماس و اولترا-میکروتوم تهیه گردید.

پس از آن، برش‌های نازک با اورانیل استات و سیترات سرب رنگ‌آمیزی شدند و تغییرات سلولی با میکروسکوپ الکترونی (Zeise, Germany) مورد ارزیابی قرار گرفت (۲۰).

ارزیابی اسپرماتوژنر با استفاده از میکروسکوپ نوری: بیضه راست از هر حیوان در محلول بوئن برای مدت ۴۸ ساعت در حرارت اتاق غوطه‌ور شد و سپس برای مطالعه با میکروسکوپ نوری پاساز داده شد. برای به حداقل رساندن تعداد برش‌های مناسب لوله‌های سمی‌نیفروس در مقطع عرضی، بیضه‌ها در جهت محور طولی در پارافین قالبگیری شدند. سپس با استفاده از دستگاه میکروتوم دوار (Leitz, Germany) مقاطعی با ضخامت ۵ μm و فواصل منظم ۲۰۰ μm به صورت نمونه‌گیری تصادفی ساده یکنواخت تهیه گردید تا تمامی برشها از شناسنایکسانی برای مطالعه برخوردار باشند. به عبارت دیگر با این نوع نمونه برداری میزان سوگیری به حداقل مقدار رسانیده شد (۲۱). از هر

حاضر با هدف بررسی تغییرات فراساختاری سلول‌های اسپرماتوژنیک یا اسپرمیوژنیک موش بالغ بدنبال تجویز یک دوز لوپرلایداستات در فرم دپو می‌باشد. همچنین در این مطالعه با استفاده از میکروسکوپ نوری وضعیت اسپرماتوژنر داخل لوله‌های سمی‌نیفروس و تعداد سلول‌های زایای بیضه و رده‌های بلوغی اسپرم و پارامترهای هیستومتریک لوله‌های سمی‌نیفروس نیز مورد ارزیابی قرار گرفت، تا بتوان مشخص کرد که این دارو بیشتر بر روی چه سلول‌هایی از لوله‌های سمی‌نیفروس مؤثر واقع شده است.

روش بررسی

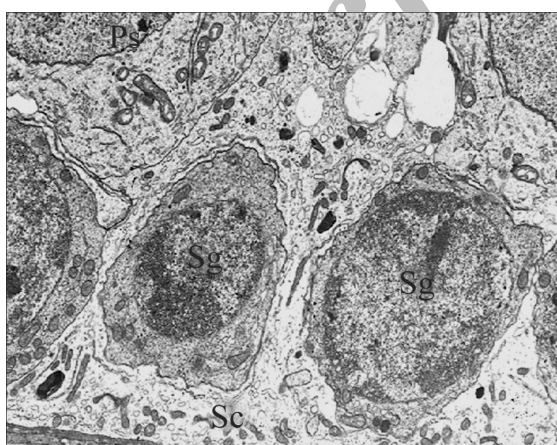
حیوانات: ۲۴ موش نر نژاد NMRI، با سن ۶ هفته از موسسه رازی تهران خریداری شدند. حیوانات در اتاقی با درجه حرارت کنترل شده و سیکل نوری ۱۲ ساعت تاریکی/ روشنایی با دسترسی آزادانه به آب و غذا نگهداری شدند. جهت تطبیق با محیط، حیوانات ۲ هفته در محیط قرار گرفتند و سپس حیوانات ۸ هفته به سه گروه کنترل، شم و آزمایش تقسیم شدند (هر گروه ۷/۶ mg/kg شامل ۸ حیوان). به حیوانات گروه آزمایش از آمپول لوپرلاید (Wyeth, UK) به صورت زیر جلدی به پوست پشت حیوان تزریق شد. شایان ذکر است که دارو در یک دوز تزریق گردید. همچنین دوز ۷/۶ mg/kg لوپرلاید براساس گزارش‌های قبلی در موش انتخاب شد (۱۳، ۱۴). جهت حلالیت دارو از کربوکسی متیل سلولز (Wyeth, UK) استفاده شد. به حیوانات شم ۰/۲ ml کربوکسی متیل سلولز به صورت زیر جلدی تزریق شد اما حیوانات کنترل، دارویی دریافت نکردند.

با توجه به این که سیکل کامل اسپرماتوژنر در موش ۳۵ روز می‌باشد (۱۸، ۱۹)، لذا پس از گذشت ۵ هفته از شروع درمان همه حیوانات با کلروفرم بیهوش شدند. بلافارسله پس از تشریح، هر دو بیضه از حفره شکم حیوان خارج شد. به منظور مطالعه با میکروسکوپ

نتایج

مطالعات فراساختاری سلول‌های زایا: در گروه کنترل سلول‌های اسپرماتوگونی بر روی غشاء پایه تکیه داشتند و دارای هسته گرد تا بیضی با هتروکروماتین کناری^۱ و دارای تعداد کمی اندامک در سیتوپلاسم بودند؛ ضمن این که دارای سیتوپلاسم کم و در عین حال هسته نسبتاً بزرگی بودند. سلول‌های اسپرماتوسیت اولیه با سایز بزرگتر، بالاتر از غشاء پایه از اسپرماتوگونیها قابل افتراق بودند. ضمن این که در مقایسه با سلول‌های اسپرماتوگونی دارای اندامک‌های بیشتری بودند (شکل ۱). عده سلول‌های زایا به وسیله سیتوپلاسم وسیع سلول‌های سرتولی یا پشتیبان احاطه شده بودند.

هیچگونه تغییر فراساختاری قابل توجه در سلول‌های اسپرماتوژنیک مانند اسپرماتوگونی و اسپرماتوسیت به‌دنبال درمان با لوپرلاید در گروهها مشاهده نشد. شکل ۲ نشانگر اسپرماتید در حال تکامل در مرحله اسپرمیوژن در موش کنترل است. همانطور که مشخص است هسته توسط سیتوپلاسم سلول سرتولی احاطه شده است. آکروزوم در حال تکامل به خوبی بر روی هسته قابل رویت است. تخصص یافته‌گی اکتوپلاسمیک



شکل ۱- فوتومیکروگراف الکترونی از اپیتیلوم زایا در یک موش گروه کنترل. سیتوپلاسم سلول سرتولی (Sc)، اسپرماتوگونی (Sg)، اسپرماتوسیت اولیه (Ps)، بزرگنمایی $\times 2500$

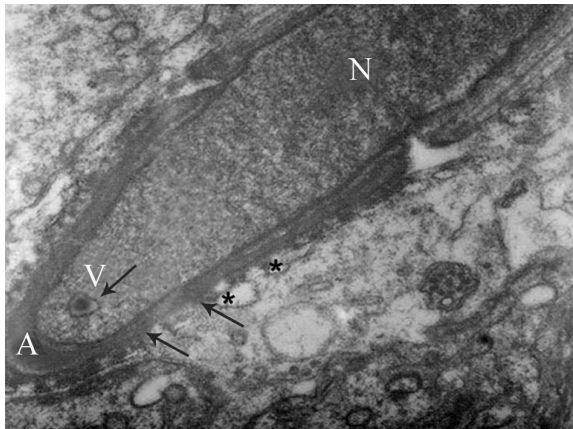
1- Marginal heterochromatin

بیضه ۸ اسلاید انتخاب و به طریق هماتوکسیلین، اوزین رنگ‌آمیزی و با میکروسکوپ نوری مطالعه شد.

برای بررسی وضعیت بلوغ اسپرماتوژن در داخل لوله‌ها از روش جانسون استفاده شد (۲۲). بدین منظور از مقطع عرضی ۱۰۰ لوله سمی‌نیفروس در هر حیوان استفاده گردید. به هر لوله براساس جدول نمرات، امتیاز ۱ تا ۱۰ تعلق گرفت. همچنین درصد لوله‌هایی که دارای بلوغ بالا بودند یعنی لوله‌هایی که نمرات ۸،۹ و ۱۰ داشتند نیز در هر گروه مورد محاسبه قرار گرفت. لازم به ذکر است که جدول ارزیابی کننده بلوغ اسپرماتوژن در مدل‌های موشی متفاوت از انسان می‌باشد هرچند که با یکدیگر شباهت‌هایی نیز دارند (۲۵).

تعداد سلول‌های اسپرماتوگونی A، اسپرماتوسیت اولیه، اسپرماتیدهای جوان گرد، اسپرماتیدهای دراز (با هسته کاملاً متراکم و کشیده و دارای دم) در مقطع عرضی ۲۰ لوله سمی‌نیفروس در هر اسلاید مورد شمارش قرار گرفتند. حتی‌الامکان سعی شد تا از لوله‌هایی با مقطع عرضی گرد و تقریباً سایز یکسان استفاده شود و لوله‌هایی که بیضوی شکل یا در مقطع طولی بودند مورد شمارش قرار نمی‌گرفتند. شمارش سلولی براساس معیارهای مورفو‌لوژی سلولی بود که توضیح آن قبل ارائه شده است (۲۲). برای اندازه‌گیری قطر لوله سمی‌نیفروس، ضخامت اپیتیلوم ژرمنیال و قطر مجرای لوله سمی‌نیفروس از یک میکروسکوپ نوری (Olympus, Germany) متصل به نرم افزار (Image computer analyzer, UK) استفاده شد.

تحلیل آماری: نتایج مورفو‌لوژی میکروسکوپ نوری و الکترونی در نمونه‌های مورد مطالعه با یکدیگر مقایسه می‌شدند. بلوغ اسپرماتوژن، تعداد سلول‌های زایا و اقطار پارامترها در لوله‌های سمی‌نیفروس با استفاده از برنامه آماری SPSS و روش ANOVA مورد تجزیه و تحلیل قرار گرفت و سطح معنی‌داری ۰/۰۵ در نظر گرفته شد.



شکل ۲- فوتومیکروگراف الکترونی از اسپرم‌اتید در حال تکامل در یک موش در گروه تحت درمان با لوپرلاید. هسته اسپرم‌اتید (N)، آکروزوم (A)، وزیکول آکروزومی (V)، ناحیه بین فلشها نمایانگر عدم تکامل سیسترنهای شبکه آندوپلاسمی (*) سلول سرتولی و حذف نسبی تخصص یافته‌گی اکتوپلاسمیک می‌باشد (X۲۱۰۰).

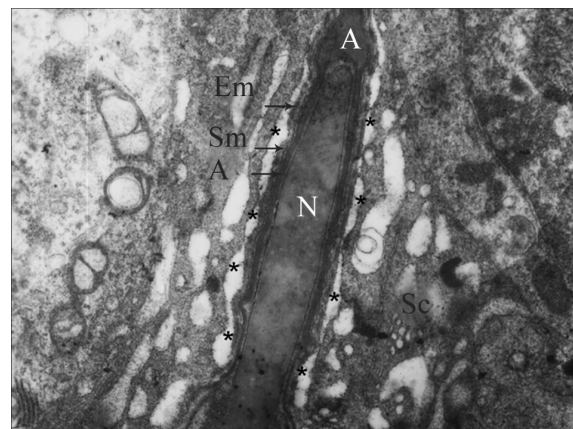
گروه آزمایش به صورت نسبی حذف شده بود (شکل ۴ و ۵).

لوپرلاید همچنین روی فلاژلهای اثر کرده بود. زمانیکه بخش دم اسپرم‌های داخل مجرأ بررسی شد، غلاف فیبروزه در زیر غشاء پلاسمایی و اطراف اکسونم به صورت غیرمنت و تغییر شکل یافته مشاهده شد؛ در حالیکه این وضعیت در گروه کنترل مشاهده نشد و غشاء پلاسمایی اسپرم و غلاف فیبری زیرین آن کاملاً منت و منظم بود (شکل ۵).

در گروه تحت درمان با کربوکسی متیل سلولز نه در مطالعه با میکروسکوپ نوری و نه در مطالعه



شکل ۴- فوتومیکروگراف الکترونی از اسپرم‌اتید گرد در گروه موشهای تحت درمان با لوپرلاید. به هسته دفرمه (*) و وزیکول داخل هسته (V) توجه شود. هسته (N)، گرانول آکروزومی (AG)، بزرگنمایی X۴۵۰.

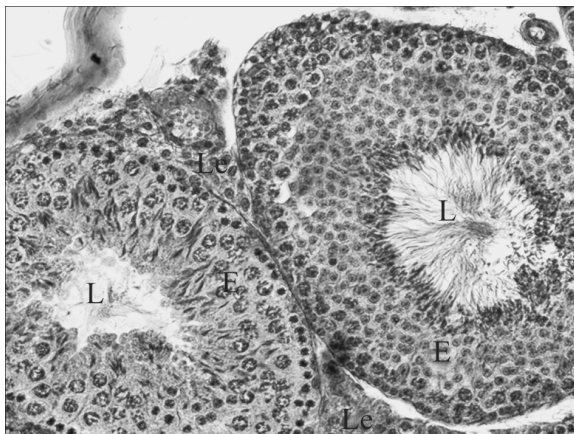


شکل ۲- فوتومیکروگراف الکترونی از اسپرم‌اتید در حال تکامل در یک موش گروه کنترل. هسته اسپرم، (N). آکروزوم (A)، به هسته اسپرم که توسط سیتوپلاسم سلول سرتولی (Sc) احاطه شده است و سیسترنهای منظم و توسعه یافته شبکه آندوپلاسمی (*) سلول سرتولی در تماس با غشاء پلاسمایی اسپرم (Sm) و لایه بین آنها تخصص یافته‌گی اکتوپلاسمیک را نشان می‌دهد توجه نمایید (X۲۲۳۹).

که وجود آن برای تکامل اسپرم‌اتیدها ضروری است به خوبی دیده می‌شود. این تخصص یافته‌گی شامل:

- ۱- غشاء سلولی سلول سرتولی که در تماس با غشاء سلولی اسپرم‌اتید است. ۲- سیسترنهای توسعه یافته و تکامل یافته شبکه آندوپلاسمی سلول سرتولی که به طور منظم و به موازات غشاء اسپرم دیده می‌شوند.
- ۳- دستگاهی از فیلامان‌های اکتن که بین دو لایه یک و دو قرار می‌گیرند. بدیهی است هرگونه نقص در این ۳ جزء باعث اختلال در تخصص یافته‌گی اکتوپلاسمیک و در نتیجه منجر به بروز اشکال در تکامل اسپرم‌اتیدهای گرد به جوان می‌شود (شکل ۲).

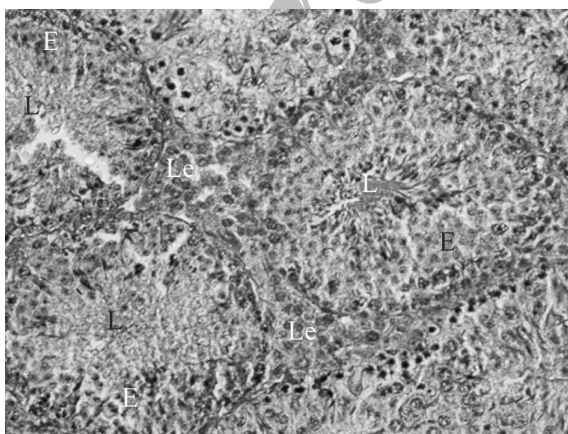
در گروه تحت درمان با لوپرلاید هسته برخی از سلول‌های اسپرم‌اتید در حال تکامل تغییر شکل یافته و در برخی موارد حاوی وزیکول‌های آکروزومی بود که این وضعیت در گروه کنترل دیده نمی‌شود. ضمن این که در برخی نواحی تخصص یافته‌گی اکتوپلاسمیک بین سلول‌های سرتولی و اسپرم‌اتیدهای در حال درازشدن تغییر کرده است و تعداد کمی از سیسترن‌های توسعه یافته شبکه آندوپلاسمیک در مقایسه با کنترل دیده می‌شود، در برخی قسمتها، این نواحی تخصص یافته در



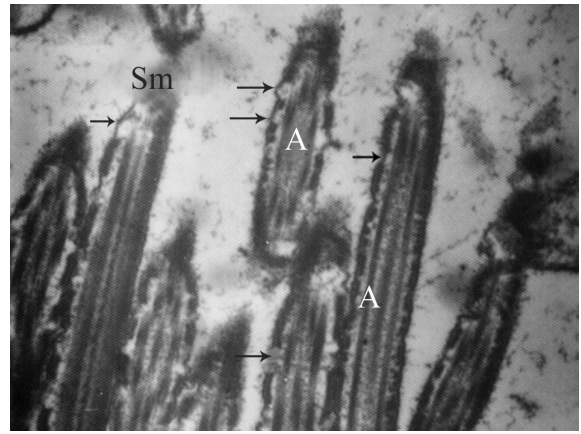
شکل ۶- فوتومیکروگراف نوری از لوله سمی‌نیفروس از یک موش گروه کنترل. به اسپرماتوژن فعال داخل توبولها توجه شود. لومن (L) سلول لیدیگ (le). اپیتیلیوم ژرمینال (E) بزرگنمایی $\times 200$

و روشن دیده شد. همچنین در بافت بینایی تجمعاتی از سلول‌های اسیدوفیل لیدیگ به همراه عروق و سایر سلول‌های همبندی مشهود بود (شکل ۶). در گروه شم نیز مانند گروه کنترل اسپرماتوژن فعال دیده شد و تفاوت خاصی از نظر هیستولوژیک در مقایسه با کنترل یافت نشد (شکل ۷).

در گروه تحت درمان با یک دوز لوپرلاید، لوله‌های سمی‌نیفروس دارای ساختمان واپیتیلیوم زایای نسبتاً طبیعی بودند. همه انواع سلول‌های زایا و سرتولی در داخل لوله‌های سمی‌نیفروس وجود داشتند. همه مراحل اسپرماتوژن در این گروه قابل مشاهده بود؛ هرچند که تعداد سلول‌های زایا به ویژه اسپرماتیدهای دراز کاهش



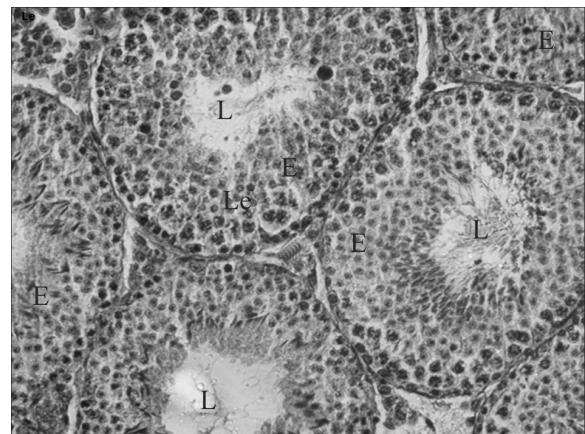
شکل ۸- فوتومیکروگراف نوری از لوله سمی‌نیفروس در یک موش در گروه تحت درمان با لوپرلاید استات. به ساختمان نرمال لوله‌های سمی‌نیفروس و در عین حال تعداد کمتر سلول‌های زایا و لومن پر توجه شود. لومن (L)، سلول لیدیگ (le). اپیتیلیوم ژرمینال (E) بزرگنمایی $\times 200$



شکل ۵- فوتومیکروگراف الکترونی از فلاکل دم اسپرم در یک موش در گروه تحت درمان با لوپرلاید. بالا و چپ تصویر دو مقطع عرضی را نشان می‌دهد و پائین تصویر مقاطع طولی و نیز مایل را نشان می‌دهند. آکسون (A)، غشاء سلولی اسپرم (Sm). بین فرشتها به غیر ممتد بودن غلاف فیبروزه خارجی توجه نمایید. بزرگنمایی $\times 13000$

فراساختاری تفاوت مورفولوژیکی در مقایسه با کنترل یافت نشد.

وضعیت اسپرماتوژن با میکروسکوپ نوری: در بررسی هیستولوژیک گروه کنترل، اسپرماتوژن فعال در لوله‌های سمی‌نیفروس در مراحل مختلف همراه با اسپرم‌های بالغ یا در حال بلوغ مشاهده شد. در داخل لوله‌ها رده‌های مختلف سلول‌های اسپرماتوژنیک در مراحل مختلف تقسیم به همراه سلول‌های سرتولی دیده شدند. در این لوله‌ها اپیتیلیوم ژرمینال از ضخامت قابل توجهی برخوردار بود و سرحد مجاری لوله‌ها منظم بود. مجرای لوله سمی‌نیفروس به صورت کاملاً مشخص



شکل ۷- فوتومیکروگراف نوری از لوله سمی‌نیفروس از یک موش در گروه شم. به اسپرماتوژن فعال داخل توبولها توجه شود. لومن (L)، سلول لیدیگ (le). اپیتیلیوم ژرمینال (E) بزرگنمایی $\times 200$

دارو در کلینیک به طور عمد برای درمان سرطان پروستات، آندومتریوز و میوم رحم استفاده می‌شود. این فرم دارو ابتدا در هفته اول و دوم باعث ترشح LH و FSH می‌شود؛ ولی به تدریج در هفته‌های بعد به دلیل بی‌تفاوتی گیرنده‌های سلول‌های گنادوتروپ نسبت به آنها، سبب مهار ترشح گنادوتروپین می‌شود. نشان داده شده است که تزریق آنالوگ GnRH نه تنها باعث کاهش گیرنده‌های GnRH هیپوفیز می‌شود؛ بلکه ساختار مولکولی گنادوتروپینها را نیز تغییر می‌دهد (۲۴).

در این مطالعه ارزیابی فراساختاری نشان داد که لوپرلاید قادر اثرات واضح روی اسپرماتوگونی و اسپرماتوسیت اولیه است و بیشترین اثرات آن بر روی اسپرماtidهای گرد و فرآیند اسپرمیوژن می‌باشد. مشخص شده است که آنالوگ‌های آزادکننده هورمون گنادوتروپین باعث سرکوب کردن ترشح LH و FSH و کاهش سطوح تستوسترون می‌شوند (۲۵، ۲۶). احتمالاً کاهش گنادوتروپین و آندروژن باعث ایجاد تغییرات فراساختاری در سلول‌های اسپرمیوژنیک شده است. نشان داده شده است که در بیضه موش‌های هیپوگناد (hpg) که به طور کامل قادر آندروژن می‌باشد، درمان با آندروژن باعث القاء حضور اسپرماtidهای گرد و دراز حتی در غیاب FSH می‌شود. این تغییر مبین این نکته است که به طور فیزیولوژیکی تستوسترون جهت تکمیل میوز (اسپرماtidهای گرد) و اسپرمیوژن (تبديل اسپرماtid گرد به دراز) ضروری می‌باشد (۲۶).

در مطالعه حاضر تعداد همه سلول‌های جرم به جز اسپرماتوگونیها در گروه آزمایش کاهش یافت. نکته قابل توجه در مطالعه حاضر این بود که علیرغم کاهش تعداد سایر سلول‌های رده بلوغی اسپرم، اسپرماتو-گونیها کم نشدند. شاید بتوان گفت که تکثیر سلول‌های اسپرماتوگونی در موش بالغ فرآیندی وابسته به گنادوتروپین نمی‌باشد. یافته‌های مشابهی به دنبال

جدول ۱- اثر لوپرلاید استات بر روی تعداد سلول‌های زایا و بلوغ اسپرماتوژن در مقطع عرضی بیست لوله سمینیفروس موش بالغ

شاخص مطالعه	گروه مطالعه (M±SD)	کنترل	شم	آزمایش	۴/۲۱±۰/۶۰
اسپرماتوگونی A		۲/۹۰±۰/۸۰	۲/۵±۰/۹۹		*۵۰/۶۲±۴/۷۰
اسپرماتوسیت اولیه		۶۲/۹۴±۸/۳۶	۵۷/۸۶±۱/۶		*۱۰۳/۲۱±۶/۵۰
اسپرماtid گرد		۱۴۰/۵۰±۳۵/۲۰	۱۲۹/۴±۳۲/۴		*۹۸/۹۰±۱۴/۹۷
اسپرماtid دراز		۱۵۲/۰±۰/۸۲۷/۷۷	۱۳۷/۰۶±۲۱/۶۸		*۷/۱۴±۰/۵۲
وضعیت اسپرماتوژن		۸/۰۴±۰/۶۲	۷/۹۷±۰/۶۲		*۲۲/۵±۰/۱۲
بلوغ لوله سمی نیفروس (%)		۴۷/۶۲±۶/۱۸	۴۱/۹۱±۶/۳۷		(p<0.05)

داشت. در این گروه مجرای بیشتر لوله‌های سمی نیفروس بسیار کوچک بود و به صورت اسیدوفیل مشاهده می‌شد (شکل ۸). وضعیت پلوغ اسپرماتوژن در گروه تحت درمان در مقایسه با کنترل و شم به صورت معنی‌داری کاهش داشت (p<0.01).

همچنین تمام پارامترهای هیستومتریک در لوله‌های سمی نیفروس در مقایسه با دو گروه دیگر کاهش معنی‌دار داشت (p<0.01) (جدول ۲). همچنین ملاحظه گردید که یک دوز لوپرلاید باعث کاهش معنی‌دار سلول‌های جرم اسپرماتوسیت اولیه، اسپرماtid گرد و دراز شده است. در گروه تحت درمان با لوپرلاید به نظر می‌رسید که تعداد سلول‌های اسپرماتوگونی افزایش یافته باشد هرچند که این اختلاف از نظر آماری معنی‌دار تلقی نشد (جدول ۱).

بحث

در مطالعه حاضر از یک دوز لوپرلاید استات در فرم دیپوت به عنوان داروی آنالوگ GnRH استفاده شد. این

جدول ۲- اثر لوپرلاید استات بر روی پارامترهای هیستومتریک لوله‌های سمی نیفروس در بیضه موش بالغ

شاخص مطالعه	گروه مطالعه (M±SD)	کنترل	شم	آزمایش	ضخامت اپیتیلیوم (um)
قطر لوله (um)	۱۱۶/۶۷±۱۰/۹۷	۱۱۴/۶۱±۱۲/۰۷	۱۱۰/۰/۶۷±۱۴/۱۰		
قطر مجرای لوله (um)	۱۶۹/۰۰±۹/۲۱	۱۵۹/۷۰±۱۲/۸	۱۵۱/۴۴±۵/۷		
*	۵۵/۸۷±۴/۸۶	۵۰/۶۷±۵/۶۷	۴۸/۲۸±۵/۱۰		

(p<0.05)

البته مطالعه حاضر به طور اختصاصی تکثیر و تزاید سلول‌های زایا را مورد بررسی قرار نداد؛ ولی با مطالعه کمی به نظر می‌رسد که تزاید این سلولها کاهش یافته باشد که مطالعات دقیق‌تر و اختصاصی‌تر در این زمینه مورد نیاز می‌باشد.

مکانیسم احتمالی دیگر افزایش مرگ سلول‌های زایا است. شاید لوپرلاید از طریق افزایش مرگ سلول‌های زایا توانسته باشد باعث کاهش شمارش سلولی و بلوغ اسپرماتوژن نشود. هرچند که در مطالعه حاضر، چه در مطالعه با میکروسکوپ نوری و چه در مطالعه فراساختاری سلول‌های زایا، هیچگونه نشانه مورفولوژیک دال بر مرگ سلولی از جمله تراکم کروماتین، متراکم شدن سیتوپلاسم، حضور اجسام آپوپتویک یا قطعه قطعه شدن هسته در هیچ یک از نمونه‌ها دیده نشد. ضمن این که محققان مقاله حاضر در مطالعه قبلی خود با استفاده از روش TUNEL نیز نتوانستند افزایش مرگ سلولی به دنبال لوپرلاید را در سلول‌های زایا نشان دهند (۳۱). مطالعه حاضر مشابه Endo در سال ۲۰۰۳ است (۸). همچنان، هیپوفیزیکتومی در رت‌های نر بالغ و هامستر و به دنبال آن توقف، ترشح گنادوتروپینها، نمی‌تواند باعث القاء مرگ سلول‌های زایا شود (۳۲، ۳۳)، ضمن این که Billing و همکاران در سال ۱۹۹۵ نشان دادند که تجویز آنتاگونیست GnRH در رت‌های بالغ نر نیز نمی‌تواند مرگ را در سلول‌های زایا القاء نماید (۳۴)؛ در حالیکه درمان رت‌های نر به مدت ۲-۴ هفته نر با آنتاگونیست GnRH و همچنان هیپوفیزیکتومی در رت‌های نابالغ نر باعث القاء مرگ سلول‌های زایا می‌شود (۳۴). به عبارت دیگر همه این مطالعات نشان می‌دهند که واپستگی بیضه به گنادوتروپینها یک فاکتور وابسته به سن است و در سنین مختلف اثرات گنادوتروپین بر سلول‌های زایای بیضه می‌تواند متفاوت باشد.

ایمونیزاسیون با GnRH گزارش شده است (۲۷). همچنین در تأیید این یافته در میمون بالغ، درمان با GnRH تأثیری روی تعداد اسپرماتوگونی A نداشته است (۲۸)، هرچند که به خوبی مشخص شده است که در رفتارهای اسپرماتوگونی هم بین گونه‌ها و هم بین نژادهای مختلف حتی در مواجهه با یک عامل مشابه متفاوت وجود دارد (۲۹).

در مطالعه حاضر تعداد سلولها از اسپرماتوسیت اولیه به بعد کاهش داشت. مطالعات مشابهی در رت نشان داد که کمبود آندروژن عمده‌تاً روی سلول‌های اسپرماتوژنیک در مرحله VII اثر می‌کند و منجر به کاهش خفیف در تعداد اسپرماتوسیستها در مراحل VII-XIV و اسپرماتیدها در مراحل I-VII می‌شود (۲۵، ۳۰). از آنجا که وجود رسپتورهای FSH بر سطح سلول‌های سرتولی و LH بر سطح سلول‌های لیدیگ و رسپتورهای آندروژن بر سطح سلول‌های میوئید که هر سه جزء سلول‌های سوماتیک بیضه هستند مشخص شده است (۲۵، ۳۰) و با توجه به اینکه ارتباط تنگاتنگ و قوی بین سلول‌های سوماتیک و سلول‌های زایای در حال تکامل وجود دارد، به نظر می‌رسد که لوپرلاید توانسته باشد از طریق اثر بر سلول‌های سوماتیک باعث کاهش سلول‌های زایای بیضه شده باشد. در تأیید یافته‌های کمی، بلوغ اسپرماتوژن نیز در گروه آزمایش کاهش معنی‌داری داشت که به طور مشابه در مطالعه Manabe در سال ۱۹۹۷ باعث کاهش بلوغ اسپرماتوژن نشست. مطالعات بعدی در ارتباط با بررسی میزان تکثیر سلول‌های زایا به دنبال مصرف لوپرلاید در موش مورد نیاز می‌باشد. به عبارت دیگر شاید بتوان کاهش سلول‌های زایای لوله سمینیفروس و در نتیجه پارامترهای هیستومتریک لوله سمینیفروس را در گروه آزمایش ناشی از دو مکانیسم: (الف) کاهش تکثیر سلول‌های زایا و (ب) افزایش مرگ سلول‌های زایا دانست.

که بررسی آن در مطالعات بعدی به دنبال تجویز آنالوگ‌های GnRH پیشنهاد می‌شود. در این مطالعه فراساختار فلاژل دم اسپرم تغییر یافته و غلاف فیبروزه در زیر غشاء پلاسمایی اسپرم به صورت غیرممتد مشاهده می‌شود. مشابه مطالعه حاضر، درمان با تریپتوکساید، نوعی دی‌ترپین‌تری اپوکساید حاصل از یک نوع گیاه دارویی چینی می‌تواند منجر به ایجاد ناباروری در رت و موش‌های نر شده و باعث از بین رفتن غلاف، فیبروزه دم اسپرم می‌شود (۴۲، ۴۳). طبق مطالعات FSH و LH و تستوسترون و استروژن داخل بیضه‌ای می‌باشد (۴۲، ۴۳). بنابراین به نظر می‌رسد که غیرممتد شدن غلاف فیبروزه فلاژل در آزمایش حاضر، با مکانیسم ناشناخته‌ای و نه مکانیسم هورمونی ایجاد شده باشد که نیاز به بررسی بیشتر دارد.

نتیجه‌گیری

براساس نتایج مطالعه حاضر بیشتر اثرات فراساختاری لوپرلاید بر روی سلول‌های پس از فاز میوزی اسپرماتوژن محسوب می‌شود نیز باعث حذف نسبی اسپرم‌ها می‌شود (۳۷). همچنین آنالوگ‌های GnRH از طریق کاهش FSH و LH و تستوسترون می‌توانند دارای خواص آنتی‌آندروروژنیک باشند (۳۷، ۳۸). از طرف دیگر به دنبال تجویز بیسفنول A یا بتا استرادیول-۳-بنزووات در موشها و رت‌های بالغ و نیز تجویز ۱۷- بتا استرادیول در نوزادان موش، تغییرات فراساختاری مشابهی گزارش شده است (۳۹) شایان ذکر است که داروهای فوق‌الذکر دارای خواص استروژنی هستند؛ ضمن این که تعادل بین استروژن و آندروروژنها در برقراری اسپرماتوژن طبیعی بسیار با اهمیت می‌باشد (۴۰). علاوه بر این FSH نقش مهمی در نگهداری اتصالات سلولی در اپی تلیوم ژرمنیال دارد (۴۱). بنابراین ارزیابی‌های هورمونی FSH و LH و تستوسترون و همچنین استروژن و اثرات آنها روی اسپرمیوژن و اتصالات سلول‌های اسپرماتید- سرتولی (تخصص یافته‌گی اکتوپلاسمیک) از جمله مواردی است

Udagawa معتقد است که لوپرلاید از طریق اثرات پاراکرینی روی سلول‌های سرتولی و لیدیگ اسپرماتوژن را تحت تأثیر قرار می‌دهد. چرا که سلول‌های زایا قادر گیرنده برای GnRH بوده و رسپتورهای گناندوتروپینی بر سطح سلول‌های سرتولی و لیدیگ قرار دارند (۳).

نتایج میکروسکوپ الکترونی مطالعه حاضر نشان می‌دهد که اتصال اکتوپلاسمیک سلول‌های سرتولی در موش‌های تحت درمان تغییر کرده است و حتی در برخی نواحی به طور نسبی حذف شده است. تخصص یافته‌گی اکتوپلاسمیک نوع ویژه‌ای از اتصال سلولی است که بین سلول سرتولی و اسپرماتیدها وجود دارد و نقش مهمی در تکامل و کارکرد سلول‌های زایا دارد (۳۵، ۳۶). به عبارت دیگر نقش زیادی در مورفوژن و تکامل اسپرماتیدهای گرد به دراز دارد (۳۶). مشابه یافته مطالعه کنونی، درمان با فلوتاماید که نوعی آنتی‌آندروروژن محسوب می‌شود نیز باعث حذف نسبی تخصص یافته‌گی اکتوپلاسمیک می‌شود (۳۷). همچنین آنالوگ‌های GnRH از طریق کاهش FSH و LH و تستوسترون می‌توانند دارای خواص آنتی‌آندروروژنیک باشند (۳۷، ۳۸). از طرف دیگر به دنبال تجویز بیسفنول A یا بتا استرادیول-۳-بنزووات در موشها و رت‌های بالغ و نیز تجویز ۱۷- بتا استرادیول در نوزادان موش، تغییرات فراساختاری مشابهی گزارش شده است (۳۹) شایان ذکر است که داروهای فوق‌الذکر دارای خواص استروژنی هستند؛ ضمن این که تعادل بین استروژن و آندروروژنها در برقراری اسپرماتوژن طبیعی بسیار با اهمیت می‌باشد (۴۰). علاوه بر این FSH نقش مهمی در نگهداری اتصالات سلولی در اپی تلیوم ژرمنیال دارد (۴۱). بنابراین ارزیابی‌های هورمونی FSH و LH و تستوسترون و همچنین استروژن و اثرات آنها روی اسپرمیوژن و اتصالات سلول‌های اسپرماتید- سرتولی (تخصص یافته‌گی اکتوپلاسمیک) از جمله مواردی است

هزینه‌های این تحقیق را تأمین نمودند. همچنین از سرکار خانم آیدا اعظمی کارشناس آزمایشگاه میکروسکوپ الکترونی به خاطر همکاری صمیمانه در اجرای این طرح تشکر و قدردانی می‌شود.

پیشنهاد می‌شود.

تشکر و قدردانی

با سپاس از معاونت محترم پژوهشی و مرکز تحقیقات کاربردی داروئی دانشگاه علوم پزشکی تبریز که

References

- 1- Gobello C. New GnRH in canine reproduction. *Anim Reprod Sci.* 2007;100(1-2):1-13.
- 2- Chillik C, Acosta A. The role of LHRH agonists and antagonists. *Reprod Biomed Online.* 2001;2(2):120-28.
- 3- Udagawa K, Takeda M, Hosaka M, Kubota Y, Ogawa T. Recovery of spermatogenesis by high dose gonadotropin-releasing hormone analogue treatment in rat crypt orchid testis after orchiopexy: *J Urol.* 2002;168 (3):1279-83.
- 4- Udagawa K, Ogawa T, Watanabe T, Yumura Y, Takeda M, Hosaka M. GnRH analog, leuprorelin acetate, promotes regeneration of rat spermatogenesis after severe chemical damage. *Int J Urol.* 2001;8:615-22.
- 5- Tunn UW, Bargelloni U, Cosciani S, Fiacavento G, Guazzieri S, Payano F. Comparison of LH-RH analogue 1-month depot and 3-month depot by their hormone levels and pharmacokinetic profile in patients with advanced prostate cancer. *Urol Int.* 1998;60 suppl 1:9-16.
- 6- Berges R, Bello U. Effect of a new leuprorelin formulation on testosterone levels in patients with advanced prostate cancer. *Curr Med Res Opin.* 2006; 22(4):649-55.
- 7- Sartor O. Eligard: leuprorelin acetate in a novel sustained-release delivery system. *Urology.* 2003;61(2 suppl 1):25-31.
- 8- Endo F, Manabe F, Takeshima H, Akaza H. Protecting apermatogonia from apoptosis induced by doxorubicin using the luteinizing hormone-releasing hormone analog Leuprorelin. *Int J Urol.* 2003;10:72-9.
- 9- Manabe F, Takeshima H, Akaza H. Protecting spermatogenesis from damage induced by doxorubicin using the luteinizing hormone-releasing hormone agonist leuprorelin: an image analysis study of rat experimental model. *Cancer.* 1997;79(5):1041-21.
- 10- Meistrich ML. Restoration of spermatogenesis by hormone treatment after cytotoxic therapy. *Acta Paediatr Scand.* 1999;88:19-22.
- 11- Kangasniemi M, Huhtaniemi I, Meistrich ML. Failure of spermatogenesis to recover despite the presence of A spermatogonia in the irradiated LBNF1 rat. *Biol Reprod.* 1996;54:1200-08.
- 12- Glode LM, Robinson Gould SF. Protection from cyclophosphamide induced testicular damage with an analogue of gonadotropin-releasing hormone. *The Lancet.* 1981;(23):1132-34.
- 13- Ogawa T, Dobrinski I, Brinster RL. Recipient preparation is critical for spermatogonial transplantation in the rat. *Tissue Cell.* 1999;31:461-72.
- 14- Dobrinski I, Ogawa T, Avarbock MR, Brinster RL. Effect of the GnRH agonist leuprolide on colonization of recipient testes by donor spermatogonial stem cells after transplantation in mice. *Tissue Cell.* 2001;33:200-7.
- 15- Valiente C, Corrada Y, De La Sota PE, Galassi Gerez P, Gobello C. Effect of the GnRH antagonist, acycline, on canine testicular characteristics. *Theriogenology.* 2007, In press.
- 16- Saratsis Ph, Ypsilantis Y, Tselkas K. Semen quality during vincristine treatment in dogs with transmissible venereal tumor. *Theriogenology.* 2000; 53:1185-92.
- 17- Yeung Ch, Weinbauer GF, Cooper TG. Effect of acute androgen withdrawal by GnRH antagonist on epididymal sperm motility and morphology in the cynomolgus monkey. *J Androl.* 1999;20(1):72-9.
- 18- Adler ID. Comparison of the duration of spermatogenesis between male rodents and humans. *Mutat Res.* 1996;352(1-2):169-72.
- 19- Cheng Yan C, Mruck DD. Cell junction dynamic in the testis: sertoli-germ cell interaction and male contraceptive development. *Physiol Rev.* 2002;82: 825-74.
- 20- Bancroft JD. Theory and practice of histological techniques. 3rd Edition, Edited by Churchill Livingstone. 2002; London.pp:305-310.
- 21- Gundersen HJ, Bagger P, Bendtsen TF, Evans SM, Korbo L, Marcussen N, et al. The new stereological tools: disector, fractionator, nucleator and point sampled intercepts and their use in pathological research and diagnosis. *APMIS.* 1998;96(10):857-81.

- 22- Lewis-Johnes DI, Kerrigan DD. A modified Johnsen's count for evaluation of spermatogenesis in the rat. IRCS Med Sci. 1985;13:510-1.
- ۲۳- محمد قاسمی فهیم، سلیمانی راد جعفر، قنبری احمد علی. مطالعه مورفولوژی بیضه موش بالغ بدنبال تجویز مقادیر مختلف بوسولفان. *فصلنامه پزشکی باروری و ناباروری*. دوره هفتم، شماره اول؛ بهار ۱۳۸۵، صفحات: ۲۵-۳۷.
- 24- Hardman JG, Limbird LE, Gilman AF. Goodman & Gilman's the pharmacological basis of therapeutics, tenth edition. Edited by McGraw Hill, Mexico. 2001; pp:1552-5.
- 25- Kangasniemi M, Wilson G, Huhtaniemi I, Meistrich M. Protection against procarbazine-induced testicular damage by GnRH-agonist and anti- androgen treatment in the rat. Endocrinology. 1995;136:3677-80.
- 26- Handelman DJ, Spaliviero JA, Simpson JM, Allan CM, Singht J. Spermatogenesis without gonadotropins maintenance has a lower testosterone threshold than initiation. Endocrinology. 1999;140(9):3938-46.
- 27- Marshall GR, Ramaswamy S, Plant TM. Gonadotropin-independent proliferation of the pale type A spermatogonia in the adult rhesus monkey. Biol Reprod. 2005;73(2):222-9.
- 28- McLachlan RI, Weford NG, Kretser DM, Robertson DM. The effects of recombinant follicle-stimulating hormone on the restoration of spermatogenesis in the gonadotropin releasing hormone Immunized adult rat. Endocrinology. 1995;136(9):4035-43.
- 29- Meistrich ML, Shetty G. Inhibition of spermatogonial differentiation by testosterone. J Androl. 2003;24(2): 135-48.
- 30- Kangasniemi M, Wilson G, Parchuri N, Huhtaniemi I, Meistrich ML. Rapid protection of rat spermatogenic stem cells against procarbazine by treatment with a gonadotropin-releasing hormone antagonist (Nal-Glu) and an antiandrogen (flutamide). Endocrinology. 1995; 136:2881-8.
- ۳۱- فهیم محمد قاسمی. بررسی فراساختاری و مطالعه آپوپتوز در بیضه موشهای بالغ بدنبال درمان با بوسولفان و درمان حمایتی با انالوگ GnRH. پایان نامه دکتری تخصصی بافت شناسی. دانشکده پزشکی، دانشگاه علوم پزشکی تبریز. تابستان ۱۳۸۵.
- 32- Gosh S, Bartke A, Grasso P, Reichert LEJR, Russel LD. Structural manifestations of the rat sertoli cells to hypophysectomy: A correlative morphometric and endocrine study. Endocrinology. 1992;131(1):485-97.
- 33- Gosh S, Bartke A, Grasso P, Reichert LEJR, Russel LD. Structural response of the hamster sertoli cell to hypophysectomy: a correlative morphometric and endocrine study. Anat Rec. 1993;237(2):296.
- 34- Billing H, Furuta I, Rivier C, Tapanainen J, Parvinen M, Hsueh AJW. Apoptosis in testis germ cells: Developmental changes in gonadotropin dependence and localization to selective tubule stages. Endocrinology. 1995;136(1):5-12.
- 35- Toyama Y, Maekawa M, Yuasa S. Ectoplasmic specialization in the sertoli cell: new vistas based on genetic defects and testicular toxicology. Anat Sci Int. 2003;78(1):1-16.
- 36- O'Donnell L, Stanton PG, Bartles JR, Robertson DM. Sertoli cell ectoplasmic specialization in the seminiferous epithelium of the testosterone suppressed adult rat. Biol Reprod. 2000;63:99-108.
- 37- Anahara R, Toyama Y, Mori C. Flutamide induces ultrastructural changes in spermatids and the ectoplasmic specialization between the sertoli cell and spermatids in mouse testes. Reproductive Toxicology. 2004;18:589-596.
- 38- Behre HM, Nashan D, Hubert W, Nieschlag E: Depot gonadotropin releasing hormone agonist blunts the androgen-induced suppression of spermatogenesis in a clinical trial of male contraception. J Clin Endocrinol Metab. 1992;74(1):84-90.
- 39- Haywood H, Spaliviero J, Jimenz M, King NJ, Handelman DJ, Allan CM. Sertoli cell and germ cell development in hypogonadal mice (hpg) expressing transgenic follicle stimulating hormone alone or in combination with testosterone. Endocrinology. 2003; 144(2):509-17.
- 40- Toyama Y, Suzuki-Toyata F, Maekawa M, Ito CH, Toshimori K. Adverse effects of bisphenol A to spermatogenesis in mice and rats. Arch Histol Cytol. 2004; 67(4):373-381.
- 41- Muffly KE, Nazian SJ, Cameron DF. Effects of follicle-stimulating hormone on the junction-related Sertoli cell cytoskeleton and daily sperm production in testosterone-treated hypophysectomized rats. Biol Reprod. 1994;51(1):158-66.
- 42- Sinha Hikim AP, Helue Y, Wang C, Reutrakul V, Sangsuwan R, Swerdloff RS. Post testicular aninfertility action of triptolide in the male rat: Evidence for severe impairment of cauda epididymal sperm ultrastructure. J Androl. 2000;21(3):431-7.
- 43- Huynh PN, Hikim AP, Wang C, Stefonovic K, Lue YH, Leung A, et al. Long term effects of triptolide on spermatogenesis, epididymal sperm function and fertility in male rats. J Androl. 2000;21(5):689-99.